



Нижегородский государственный университет им. Н.И. Лобачевского

***Разработка мультимедийных приложений
с использованием библиотек OpenCV и IPP***

Лабораторная работа
Оптимизация и распараллеливание вычислений
в задаче детектирования объектов
на изображениях с использованием алгоритма
Latent SVM

При поддержке компании Intel

Козинов Е.А., Кустикова В.Д., Половинкин А.Н.,
кафедра математического обеспечения ЭВМ

Содержание

- ❑ Цели и задачи работы
- ❑ Содержательная постановка задачи детектирования объектов
- ❑ Математическая постановка задачи детектирования объектов с n частями
- ❑ Основные этапы решения задачи детектирования с использованием алгоритма Latent SVM
- ❑ Обзор базовой программной реализации Latent SVM
- ❑ Этапы оптимизации и распараллеливания исходной программной реализации
- ❑ Оценка качества поиска объектов разных классов с использованием финальной параллельной реализации



Цели работы

- ❑ Для большинства практических приложений процедура поиска объектов на изображении должна выполняться в реальном времени.
- ❑ Основная цель данной работы – максимально уменьшить среднее время поиска объектов разных классов с использованием метода Latent SVM за счет компиляторной и алгоритмической оптимизации, а также за счет последующего распараллеливания последовательной реализации на системы с общей памятью.

Задачи работы (1)

- ❑ Изучение схемы работы алгоритма Latent SVM.
- ❑ Изучение структуры модулей и функций программной реализации Latent SVM.
- ❑ Определение участков кода, на исполнение которых тратится наибольшее время, с помощью инструментов Intel Parallel Studio XE.
- ❑ Компиляторная и алгоритмическая оптимизация наиболее трудоемких участков исходного кода.



Задачи работы (2)

- ❑ Разработка и реализация различных схем распараллеливания с использованием технологии OpenMP и библиотеки Intel® Threading Building Blocks.
- ❑ Анализ масштабируемости разработанных параллельных реализаций.
- ❑ Оценка качества детектирования объектов при использовании наиболее эффективной параллельной реализации.

Тестовая инфраструктура

Операционная система	Microsoft Windows 7
Среда разработки	Microsoft Visual Studio 2010
Библиотека TBV	Intel® Threading Building Blocks (в составе Intel® Parallel Studio XE 2013)
Профилировщик	Intel® Parallel Studio XE 2013
Библиотеки OpenCV	Версия 2.4.3
Математический пакет	MATLAB R2010a
Visual Object Challenge Development Kit	Версия VOCdevkit_08-Jun-2007



СОДЕРЖАТЕЛЬНАЯ ПОСТАНОВКА ЗАДАЧИ ДЕТЕКТИРОВАНИЯ ОБЪЕКТОВ



Н.Новгород, 2013 г.

Оптимизация и распараллеливание вычислений в задаче детектирования объектов
на изображениях с использованием алгоритма Latent SVM

Постановка задачи

- ❑ Рассматривается задача детектирования объектов разных **классов** (машина, птица, человек и т. п.) на изображениях или кадрах видео.
- ❑ Требуется выполнить поиск объектов некоторого класса на изображении (сцена может содержать несколько объектов одного класса).
- ❑ **Положение** объекта определяется прямоугольником, окаймляющим его границы.
- ❑ Необходимо построить на изображении множество окаймляющих прямоугольников для объектов заданного класса.

МАТЕМАТИЧЕСКАЯ ПОСТАНОВКА ЗАДАЧИ ПОИСКА ОБЪЕКТОВ С N ЧАСТЯМИ



Н.Новгород, 2013 г.

Оптимизация и распараллеливание вычислений в задаче детектирования объектов
на изображениях с использованием алгоритма Latent SVM

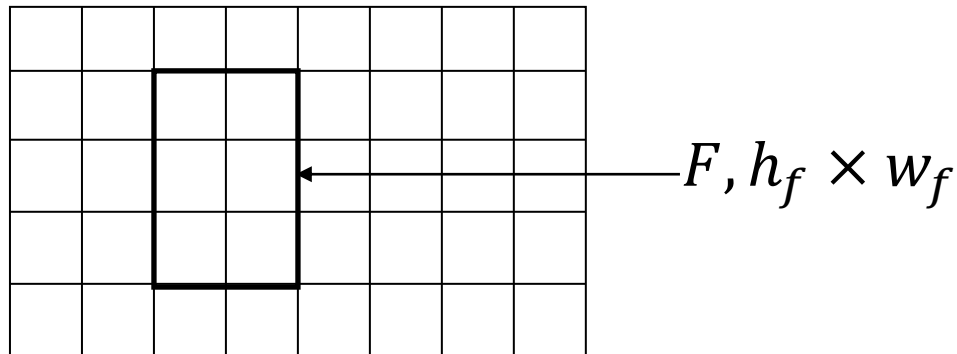
Математическая модель изображения

- Пусть дано изображение I .
- Изображение представляется в виде матрицы пикселей.
- Каждый элемент матрицы состоит из трех компонент. Компоненты соответствуют интенсивностям цвета (RGB) в точке.
- Всего в изображении w элементов по горизонтали и h элементов по вертикали.
- Математической моделью изображения является **карта признаков (свойств)**. Карта признаков представляет матрицу вещественных чисел, полученных в результате вычисления некоторой функции от интенсивностей текущего и набора окрестных пикселей.



Математическая модель объекта

- Пусть по изображению построена карта свойств $G(i, j)$, и имеется объект для поиска.
- Искомый объект можно описать с помощью фильтра $F = \{f_{x', y'}, x' \in \{0, \dots, w_f\}, y' \in \{0, \dots, h_f\}\}$, где h_f и w_f – размеры фильтра изображения.
- **Фильтр** определяет набор признаков, наиболее характерных для объекта заданного класса.



Построение оценочной функции положения объекта (1)

- Для оценки наличия объекта в конкретной области применяется следующая свертка:

$$S(x, y) = \sum_{x', y'} F(x', y') G(x + x', y + y'),$$

где $x' \in \{0, \dots, w_f\}$, $y' \in \{0, \dots, h_f\}$, $0 \leq x \leq \left\lfloor \frac{w-1}{k} \right\rfloor$, $0 \leq y \leq \left\lfloor \frac{h-1}{k} \right\rfloor$.

- Чем больше $S(x, y)$, тем больше вероятность того, что искомый объект находится в точке (x, y) .

Построение оценочной функции положения объекта (2)

- Теперь предположим, что объект состоит из n частей.
- Введем обозначения:
 - F_0 – **грубый фильтр** (фильтр для всего объекта),
 - F_i – фильтр для i –ой части объекта (**точный фильтр**). Заметим, что положение точного фильтра задается относительно грубого.

Построение оценочной функции положения объекта (3)

- В этом случае оценочную функцию можно записать следующим образом:

$$S(x, y) = \sum_{i=0}^n \sum_{x'_i, y'_i} F_i(x'_i, y'_i) G(x_i(x) + x'_i, y_i(x) + y'_i),$$

где $x_i(x)$ и $y_i(y)$ – положение фильтра F_i в глобальных координатах изображения, а $x'_i \in \{0, \dots, w_{fi}\}$, $y'_i \in \{0, \dots, h_{fi}\}$, h_{fi} и w_{fi} – размеры точного фильтра с номером i .

Построение оценочной функции положения объекта (4)

- ❑ $S(x, y)$ позволяет найти на изображении объект фиксированного размера.
- ❑ Если объект имеет размеры, отличные от эталонного, то в этом случае, объект не будет найден.
- ❑ Решение – построение **пирамиды признаков H** :
 - Пирамида признаков содержит несколько уровней, на каждом из которых находится карта свойств изображения, полученного в результате уменьшения или увеличения исходной картинки.
 - На уровне λ находится карта свойств исходного изображения, а на 0-ом уровне – карта свойств изображения, которое увеличено в два раза.

Построение оценочной функции положения объекта (5)

- ❑ Далее предполагается, что фильтр может быть расположен на любом уровне пирамиды признаков.
- ❑ Пусть $p_i = (x_i, y_i, l_i)$ – положение фильтра F_i на уровне в пирамиде признаков H .
- ❑ $\varphi(H, p_i)$ получается из пирамиды признаков H и координат положения p_i конкретное свойство изображения путем вычисления глобальных координат x и y фильтра F_i на слое l .
- ❑ Тогда оценочную функцию можно записать следующим образом:

$$S(x, y) = \sum_{i=0}^n F_i \varphi(H, p_i)$$



Построение оценочной функции положения объекта (6)

- ❑ Все части изображения были никак не связаны.
- ❑ Для реального объекта это не так!
- ❑ Пусть заданы модели частей объекта $P_i = (F_i, V_i, d_i)$, где V_i – идеальное расположение его части, а $d_i \in R^4$ – коэффициенты квадратичной функции штрафа $d_1x + d_2y + d_3x^2 + d_4y^2$, которая вносит вклад в значение оценочной функции в случае чрезмерного удаления части от самого объекта.
- ❑ Модель для объекта с n частями формально определяется множеством параметров:

$$(F_0, P_1, \dots, P_n, b)$$

где параметр b определяет соответствие коэффициентов между моделями



Построение оценочной функции положения объекта (7)

$$\text{score}(p_0, p_1, \dots, p_n) = \sum_{i=0}^n F'_i \varphi(H, p_i) - \sum_{i=1}^n d_i \varphi_d(dx_i, dy_i) + b,$$

первое слагаемое – результат применения фильтров к исходному изображению (значения сверток грубого и точных фильтров с конкретной матрицей признаков),

второе слагаемое – штраф за счет деформации взаимного расположения частей,

b – параметр соответствия коэффициентов между моделями.



Построение оценочной функции положения объекта (8)

$$\text{score}(p_0, p_1, \dots, p_n) = (\beta, \psi(H, z)),$$

$$\text{где } \beta = (F'_0, F'_1, \dots, F'_n, d_1, \dots, d_n, b),$$

$$\psi(H, z)$$

$$= (\varphi(H, p_0), \dots, \varphi(H, p_n), -\varphi_d(dx_1, dy_1), \dots, -\varphi_d(dx_n, dy_n), 1)$$

Поиск частично видимых объектов

- Для определения положения частично видимых объектов при вычислении сверток каждую матрицу признаков в пирамиде H необходимо дополнить нулевыми границами.
- Размер границы определяется максимальными размерами фильтров по каждому измерению согласно формулам:

$$bx = \frac{mwf}{2} + 1, by = \frac{mhf}{2} + 1,$$

где $mwf = \max_f \{w_f\}$, $mhf = \max_f \{h_f\}$.

- **Замечание:** в свертках с грубым фильтром матрица признаков дополняется нулевой границей указанного размера, с точными фильтрами данная граница должна быть удвоена.



Приведение задачи вычисления значений оценочной функции к задаче оптимизации (1)

$$score(p_0) = \max_{p_1, \dots, p_n} \{score(p_0, p_1, \dots, p_n)\}$$

□ Некоторые элементарные преобразования:

$$\begin{aligned} F'_0 \varphi(H, p_0) + \max_{p_1, \dots, p_n} \left\{ \sum_{i=1}^n (F'_i \varphi(H, p_i) - d_i \varphi_d(dx_i, dy_i)) \right\} + b \\ = F'_0 \varphi(H, p_0) + \sum_{i=1}^n \max_{p_1, \dots, p_n} \{F'_i \varphi(H, p_i) - d_i \varphi_d(dx_i, dy_i)\} + b \end{aligned}$$

□ Далее введем вспомогательные обозначения:

$$R_{0,l_0}(x_0, y_0) = F'_0 \varphi(H, p_0)$$

$$R_{i,l}(x, y) = F'_i \varphi(H, (x, y, l))$$

$$D_{i,l}(x, y) = \max_{dx, dy} \{R_{i,l}(x + dx, y + dy) - d_i \varphi_d(dx, dy)\}$$



Приведение задачи вычисления значений оценочной функции к задаче оптимизации (2)

$$\begin{aligned} score(p_0) &= score(x_0, y_0, l_0) \\ &= R_{0,l_0} + \sum_{i=1}^n D_{i,l_0} - \lambda(2(x_0, y_0) + V_i) + b \end{aligned}$$

- Для вычисления оценки необходимо решить несколько задач оптимизации вида:

$$\begin{aligned} &\max_{dx, dy} \{R_{i,l}(x + dx, y + dy) - d_i \varphi_d(dx, dy)\} \\ \max_{dx, dy} \{R_{i,l}(x + dx, y + dy) - d_i \varphi_d(dx, dy)\} &= \\ &= \min_{dx, dy} \{-R_{i,l}(x + dx, y + dy) + d_i \varphi_d(dx, dy)\} = \\ &= \min_{x', y'} \{-R_{i,l}(x', y') + d_i \varphi_d(x' - x, y' - y)\} \end{aligned}$$

где $x' = x + dx, y' = y + dy$.



Приведение задачи вычисления значений оценочной функции к задаче оптимизации (3)

- Очевидно, что при $d_i = (0,0,1,1)$ функция $d_i\varphi_d(x' - x, y' - y)$ представляет собой Евклидово расстояние, т.к. $\varphi_d(dx, dy) = (dx, dy, dx^2, dy^2)$:
$$\begin{aligned}d_i\varphi_d(x' - x, y' - y) &= (x' - x)^2 + (y' - y)^2 \\ &= (x - x')^2 + (y - y')^2\end{aligned}$$
- Как следствие, получаем задачу минимизации выпуклой функции, которая решается с использованием **обобщенного метода преобразования расстояний**.



Приведение задачи вычисления значений оценочной функции к задаче оптимизации (4)

- Задача выбора наиболее вероятных положений объекта предполагает выбор тех положений грубого фильтра, для которых выполняется условие.

$$score(p_0) > threshold,$$

где *threshold* – некоторое пороговое значение оценочной функции, которое является параметром модели.

- Поиск положений, удовлетворяющих указанному условию, осуществляется в результате прохода по всем уровня пирамиды.
- В результате останется только пересчитать координаты прямоугольников, полученных на каждом уровне, в координаты исходного изображения.



ОСНОВНЫЕ ЭТАПЫ РЕШЕНИЯ ЗАДАЧИ ДЕТЕКТИРОВАНИЯ С ПОМОЩЬЮ LATENT SVM



Построение пирамиды признаков

- ❑ **Построение пирамиды признаков** – модели исходного изображения. Процедура включает следующие действия:
 - Масштабирование исходного изображения.
Результатом является *пирамида изображений*.
 - Построение матриц векторов признаков для каждого изображения в пирамиде изображений –
формирование пирамиды признаков.
- ❑ Процедура построения пирамиды признаков в настоящей работе не описывается, т.к. время выполнения данного этапа вносит незначительный вклад в общее время поиска объектов на наборе тестовых данных.
- ❑ **Математическая модель объекта** – грубый фильтр и набор точных фильтров (описана ранее).



Определение положения объекта

- ❑ Вычисление значений оценочной функции для каждого возможного положения объекта, исходя из формул для вычисления $score(x_0, y_0, l_0)$. Оценочная функция – сумма скалярных произведений векторов (**свертка**) признаков грубого и точных фильтров модели с соответствующими векторами матрицы признаков. На каждом уровне пирамиды вычисления проводятся независимо.
- ❑ Выбор положений, для которых значения оценочной функции превышают пороговое значение.
- ❑ Преобразование координат, соответствующих найденным положениям объекта на различных уровнях пирамиды.



ОБЗОР БАЗОВОЙ ПРОГРАММНОЙ РЕАЛИЗАЦИИ АЛГОРИТМА LATENT SVM



Н.Новгород, 2013 г.

Оптимизация и распараллеливание вычислений в задаче детектирования объектов
на изображениях с использованием алгоритма Latent SVM

Основные структуры данных (1)

- **position** – структура, предназначенная для хранения положения объекта:
 - **unsigned int x** – координата по горизонтали,
 - **unsigned int y** – координата по вертикали,
 - **unsigned int l** – уровень пирамиды признаков.

Основные структуры данных (2)

- **filterObject** – структура для хранения параметров фильтра (используется для хранения грубых и точных фильтров):
 - **position V** – расположение точного фильтра относительно грубого,
 - **float fineFunction[4]** – коэффициенты штрафной функции (порядок коэффициентов соответствует функции $d_1x + d_2y + d_3x^2 + d_4y^2$),
 - **unsigned int sizeX** – размерность по горизонтали,
 - **unsigned int sizeY** – размерность по вертикали,
 - **unsigned int p** – размерность вектора признаков (=31),
 - **float *H** – матрица весов фильтра (по строкам).



Основные структуры данных (3)

- **featureMap** – структура хранения матрицы признаков на одном уровне пирамиды:
 - **int sizeX** – размерность матрицы признаков по горизонтали,
 - **int sizeY** – размерность матрицы признаков по вертикали,
 - **int p** – размерность вектора признаков (всегда принимает значение, равное 31),
 - **float *map** – матрица признаков, развернутая по строкам.

Основные структуры данных (4)

- **featurePyramid** – структура хранения пирамиды признаков:
 - **int countLevel** – количество уровней в пирамиде признаков,
 - **int lambda** – коэффициент масштабирования (параметр λ в математической модели),
 - **featureMap **pyramid** – массив матриц признаков для всех уровней пирамиды изображений.

Структура программных модулей

- В реализации алгоритма вывода выделено два программных модуля:
 - Модуль построения пирамиды признаков (**featurePyramid**).
 - Модуль вычисления положения объекта заданного класса (**matching**).

Функции модуля построения пирамиды признаков (1)

- Модуль построения пирамиды признаков поддерживает следующую функциональность:
 - Масштабирование исходного изображения. Данная процедура позволяет получить набор изображений с увеличенным и уменьшенным разрешением – пирамиду изображений.
 - Построение матриц векторов признаков (карты свойств) для каждого изображения в пирамиде – **getFeaturePyramid**. Указанная функция включает следующие этапы:
 - Разбиение изображения на блоки фиксированного размера. Блок состоит из подмножества пикселей, каждый из которых характеризуется интенсивностью цвета.



Функции модуля построения пирамиды признаков (2)

- Построение гистограммы градиентов по изображению.
- Построение объединенной гистограммы в ячейки (исходной карты свойств) – **getFeatureMaps_dp**.
- Нормализация и отсечение карты свойств – **normalizationAndTruncationFeatureMaps**.
- Снижение размерности карты свойств – **PCAFeatureMaps**.



Функции модуля поиска положений (1)

- ❑ Оценка всех возможных положений объекта на изображении (построение значений оценочной функции) – **thresholdFunctionalScore**.
- ❑ Для получения значений оценочной функции используется программная функция **convolution**, которая отвечает за вычисление значений свертки матрицы признаков и фильтра по определению.

Функции модуля поиска положений (2)

- Для вычисления сверток с использованием БПФ разработан набор функций, необходимых с точки зрения алгоритма:
 - **fftImagesMulti** – функция вычисления произведения образов Фурье,
 - **rot2PI** – функция поворота матрицы фильтра,
 - **getFFTImageFilterObject** – функция вычисления образа Фурье для фильтра,
 - **getFFTImageFeatureMap** – функция вычисления образа Фурье для матрицы признаков,
 - **convFFTConv2d** – функция вычисления свертки средствами БПФ.



Функции модуля поиска положений (3)

- ❑ Выделение наиболее вероятных положений объекта.
- ❑ Построение прямоугольников, окаймляющих объект, на основании полученных положений.
- ❑ Отсечение частей прямоугольников, выходящих за границы изображения, – **nonMaximumSuppression**.
- ❑ Отображение изображения и окаймляющих прямоугольников средствами OpenCV – **showBoxes**.



Вычисление сверток

ОПТИМИЗАЦИЯ И РАСПАРАЛЛЕЛИВАНИЕ БПФ



Анализ последовательной реализации

- ❑ Провести анализ эффективности последовательной реализации, в которой для вычисления сверток матриц векторов признаков с фильтрами используется двумерное БПФ. Для этого необходимо воспользоваться инструментом Intel Parallel Amplifier в режиме “Hotspots”.
- ❑ Результаты такого анализа позволят установить, что функция вычисления одномерного БПФ (**fft**) выполняется примерно 95% времени от общего времени поиска, поэтому ее необходимо оптимизировать.
- ❑ Просмотр более детальной трассы покажет, что наибольшее время тратится на вычисление синусов и косинусов. Двумерное быстрое преобразование Фурье реализуется через одномерное.



Оптимизация БПФ

- Так как изменение аргументов функций синуса и косинуса подчиняется определенному закону, подсчет каждого последующего значения тригонометрической функции можно выполнить на основании предыдущего значения.
- Величина угла на каждой итерации изменяется по закону:

$$\gamma_i = \gamma_0 \cdot i$$

- Таким образом, вычисление синуса и косинуса сводится к однократному их вычислению, $\sin \gamma_0$, $\cos \gamma_0$, а последующие значения вычисляются за счет уже имеющихся данных с помощью простых тригонометрических формул:

$$\begin{aligned}\sin \gamma_{i+1} &= \sin(\gamma_i + \gamma_0) = \sin \gamma_i \cos \gamma_0 + \cos \gamma_i \sin \gamma_0 \\ \cos \gamma_{i+1} &= \cos(\gamma_i + \gamma_0) = \cos \gamma_i \cos \gamma_0 - \sin \gamma_i \sin \gamma_0\end{aligned}$$



Распараллеливание одномерного БПФ

- ❑ Выполнить распараллеливание рекурсивной реализации одномерного БПФ с помощью механизма задач (task) библиотеки TBB.
- ❑ Оценить масштабируемость разработанной параллельной реализации. Для этого необходимо провести эксперименты по запуску параллельной реализации в разное количество потоков на некотором наборе изображений.



Распараллеливание двумерного БПФ

- ❑ Вернуться к последовательной оптимизированной версии. Выполнить распараллеливание двумерного БПФ.
- ❑ Оценить масштабируемость разработанной параллельной реализации.
- ❑ Провести анализ проделанной работы.



Вычисление сверток

ОПТИМИЗАЦИЯ И РАСПАРАЛЛЕЛИВАНИЕ ВЛОЖЕННЫХ ЦИКЛОВ



Анализ эффективности последовательной реализации

- ❑ Провести анализ эффективности последовательной реализации, в которой для вычисления сверток матриц векторов используется набор вложенных циклов.
- ❑ Как и на предыдущем этапе предлагается воспользоваться инструментом Intel Parallel Amplifier в режиме “Hotspots”.
- ❑ Результаты такого анализа должны выявить, что наиболее трудоемкой функцией является функция вычисления сверток – **convolution**.



Упрощение и разворачивание циклов

- ❑ Выполнить упрощение вложенного цикла – добавление результата очередного умножения осуществлять во временную переменную, результирующее значение которой сохранить в массив сверток. Оценить прирост производительности.
- ❑ Выполнить разворачивание внутреннего цикла. Провести эксперименты с разворачиванием на 2, 3, 4 и 5 итераций. Оценить эффективность работы приложения для каждого возможного значения развертки.



Распараллеливание сверток

- ❑ Выполнить распараллеливание оптимизированной версии сверток с использованием OpenMP. Подобрать оптимальное значение размера порции при формировании расписания.
- ❑ Провести анализ масштабируемости разработанной параллельной реализации.
- ❑ Выполнить распараллеливание последовательной оптимизированной версии сверток с использованием средств библиотеки TVB. Подобрать оптимальное значение размера порции при формировании расписания.
- ❑ Провести исследование масштабируемости разработанной параллельной реализации.



Сравнение реализаций

- ❑ Выполнить анализ результатов, полученных при распараллеливании свертки, которые вычислялись с использованием БПФ и напрямую через набор вложенных циклов.

РАСПАРАЛЛЕЛИВАНИЕ ВЫЧИСЛЕНИЙ ПО УРОВНЯМ ПИРАМИДЫ ПРИЗНАКОВ



Н.Новгород, 2013 г.

Оптимизация и распараллеливание вычислений в задаче детектирования объектов
на изображениях с использованием алгоритма Latent SVM

Анализ степени параллелизма предыдущей параллельной реализации

- ❑ Оценим степень параллелизма реализации, использующей параллельное вычисление сверток через набор вложенных циклов.
- ❑ Данная реализация была разработана на предыдущем шаге оптимизации и распараллеливания.
- ❑ Для оценки степени параллелизма обратимся к результатам Concurrency-анализа, которые можно получить с помощью Intel VTune Amplifier XE.
- ❑ Обратите внимание на диаграмму распределения нагрузки между потоками, из нее видно, что потоки периодически возобновляются, когда необходимо вычислить свертки, и засыпают, когда в основном потоке выполняется другая работа.



Распараллеливание вычислений по уровням пирамиды признаков (1)

- ❑ Вернуться к последовательной оптимизированной реализации, в которой свертки вычисляются с использованием вложенных циклов.
- ❑ Выполнить распараллеливание цикла построения оценочной функции на уровнях пирамиды признаков. На данном этапе предлагается использовать динамическое распределение нагрузки между потоками.

Распараллеливание вычислений по уровням пирамиды признаков (2)

- ❑ Вернуться к последовательной оптимизированной реализации, в которой свертки вычисляются с использованием вложенных циклов.
- ❑ Выполнить распараллеливание цикла построения оценочной функции на уровнях пирамиды признаков с использованием статического расписания.
- ❑ Для этого необходимо разработать функцию распределения уровней пирамиды признаков между потоками с точки зрения числа операций. Можно считать, что общее число операций, выполняемых при оценке возможных положений на уровне пирамиды признаков, определяется исключительно числом умножений и сложений, которые выполняются при вычислении свертки.



Распараллеливание вычислений по уровням пирамиды признаков (3)

- ❑ Сравнить времена работы приложений при использовании динамического и статического расписания. Выбрать наиболее эффективное.
- ❑ Провести анализ масштабируемости более эффективной параллельной реализации. Объяснить причины отсутствия линейного ускорения.

ОЦЕНКА КАЧЕСТВА ПОИСКА ОБЪЕКТОВ РАЗНЫХ КЛАССОВ



Тестовая база изображений

- ❑ Предлагается выполнить массовые эксперименты на базе PASCAL VOC 2007 и оценить качество детектирования Latent SVM на каждом классе объектов, входящих в состав VOC.
- ❑ База данных содержит изображения объектов двадцати классов (aeroplane, bicycle, bird, bottle и др.).
- ❑ Представленные фотографии различаются размером изображенных на них объектов, их положением на сцене, ракурсом и степенью освещенности. Указанные факторы оказывают значительное влияние на точность построенной модели.

Средняя точность предсказания

- Средняя точность предсказания (average precision):

$$AP = \frac{1}{11} \sum_{r \in \{0; 0.1; \dots; 1\}} p(r), \quad p(r) = \max_{\bar{r}, \bar{r} \geq r} p(\bar{r})$$

где $p(\bar{r}) = \frac{a}{a+c}$ – точность, \bar{r} – процент перекрытия детектированного окаймляющего прямоугольника и прямоугольника, который был размечен на исходном изображении как окаймляющий $\bar{r} \in \{0; 0.1; \dots; 1\}$, a – количество объектов, для которых процент перекрытия не меньше, чем \bar{r} (т. е. считается, что объект детектирован правильно), c – количество объектов с процентом перекрытия, меньшим, чем \bar{r} (объект найден ошибочно).



Инструмент для вычисления средней точности предсказания

- ❑ Для вычисления средней точности на основании информации о продетектированных прямоугольниках предлагается воспользоваться инструментом VOC Development Kit.
- ❑ Инструкция по работе с VOCdevkit находится в приложении (Приложение В. Инструкция по запуску пакета VOCdevkit).



Дополнительные задания (1)

- ❑ Разработайте и встройте реализацию функции вычисления сверток с использованием NVIDIA CUDA SDK. Оцените эффективность разработанной реализации по сравнению с реализациями, предложенными в работе.
- ❑ Разработайте и встройте реализацию функции вычисления сверток с использованием Intel® OpenCL SDK. Оцените эффективность разработанной реализации по сравнению с реализациями, предложенными в работе.

Дополнительные задания (2)

- ❑ Разработайте и встройте реализацию функции вычисления сверток с использованием быстрого преобразования Фурье, имеющегося в библиотеке Intel® Math Kernel Library. Оцените эффективность разработанной реализации по сравнению с реализациями, предложенными в работе.
- ❑ Разработайте параллельную реализацию функции вычисления сверток, использующей вложенные циклы, с помощью Intel® Cilk Plus. Оцените эффективность разработанной реализации по сравнению с реализациями, предложенными в работе.



Авторский коллектив

- ❑ Козинев Евгений Александрович,
ассистент кафедры
Математического обеспечения ЭВМ факультета ВМК ННГУ
evgeniy.kozinov@gmail.com
- ❑ Кустикова Валентина Дмитриевна,
ассистент кафедры
Математического обеспечения ЭВМ факультета ВМК ННГУ
valentina.kustikova@gmail.com
- ❑ Половинкин Алексей Николаевич,
младший научный сотрудник
alexey.polovinkin@gmail.com

